



1/12

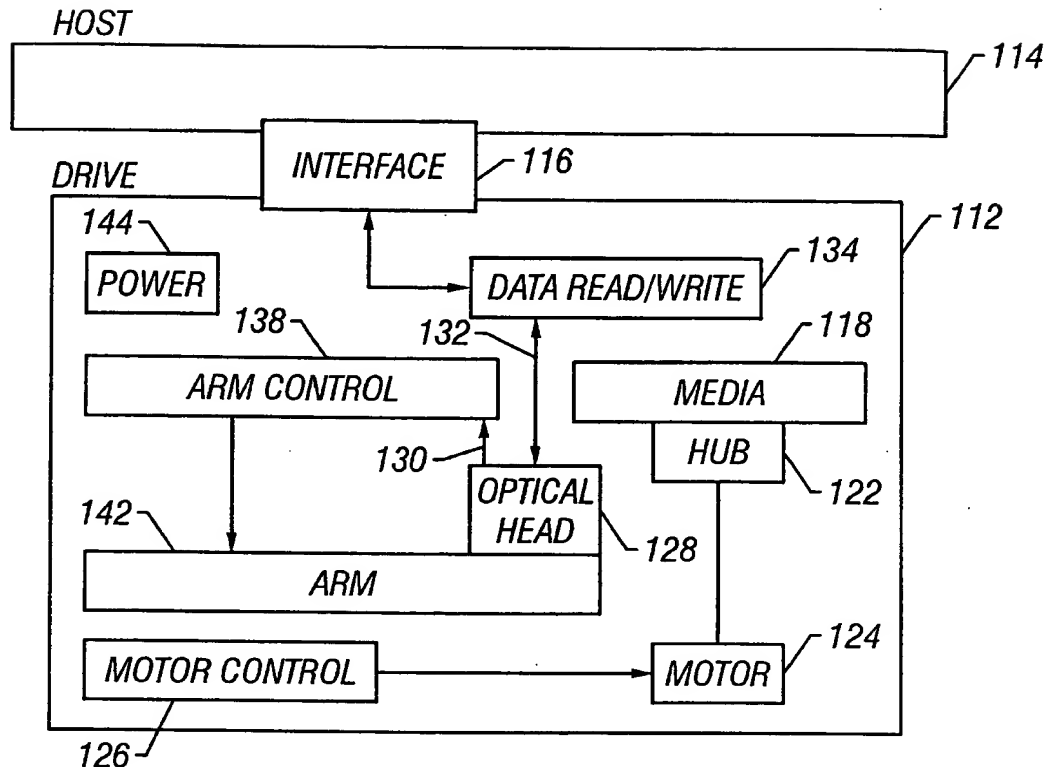


FIG. 1

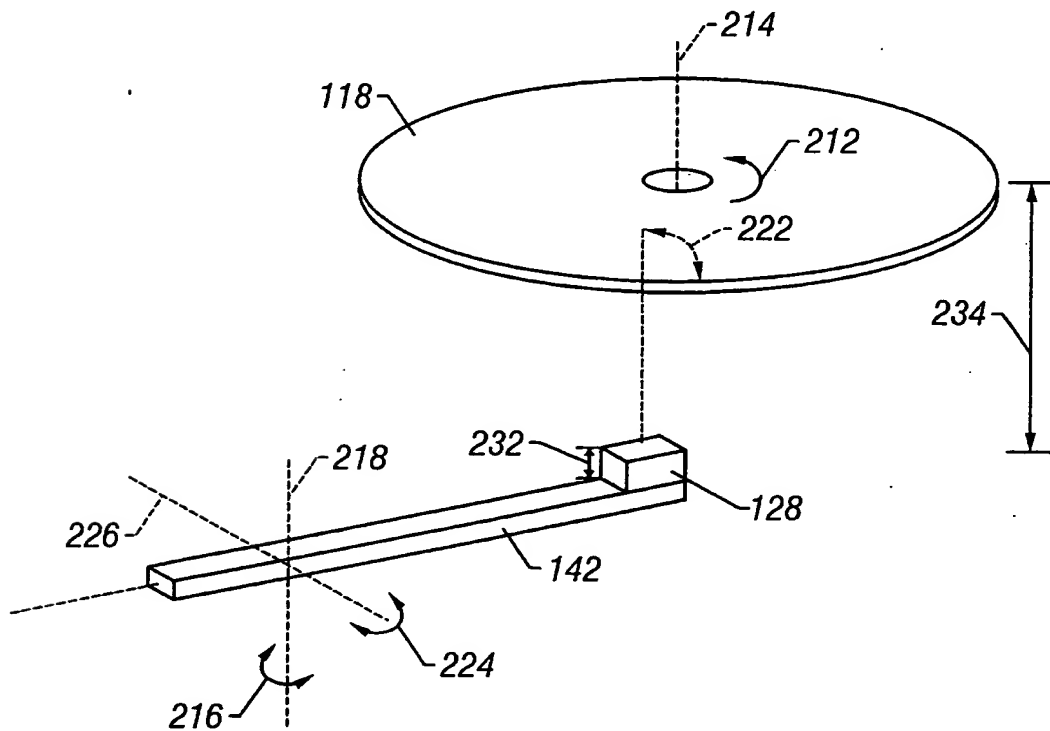


FIG. 2



2/12

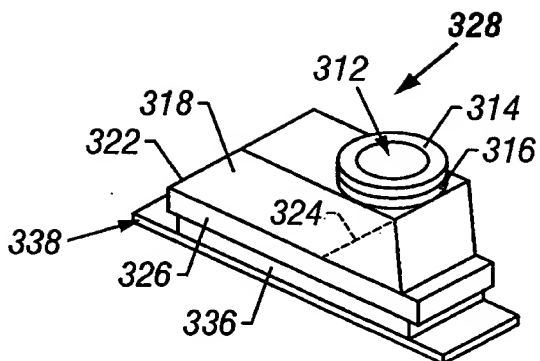


FIG. 3

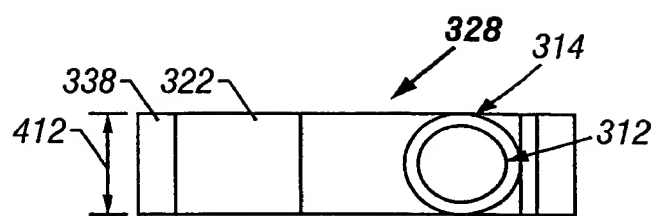


FIG. 4

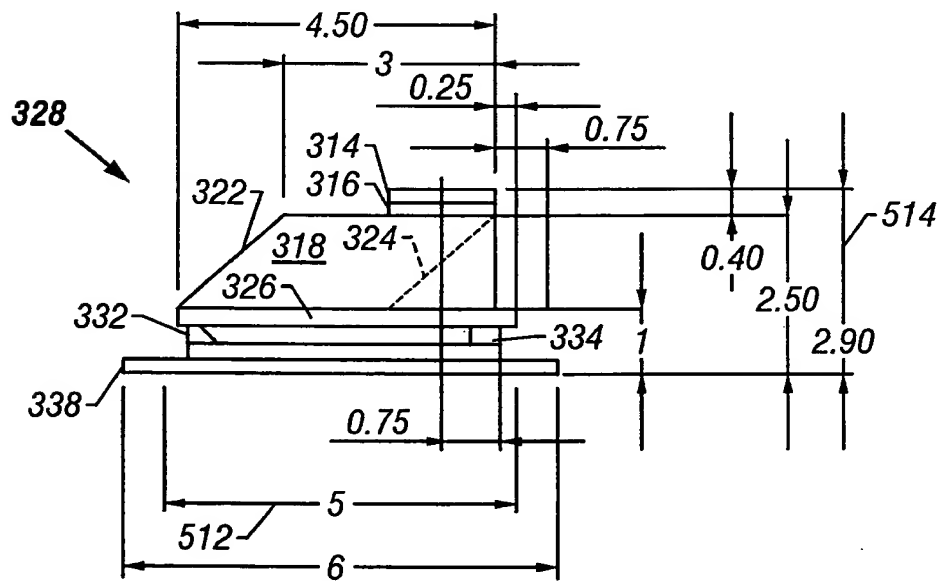
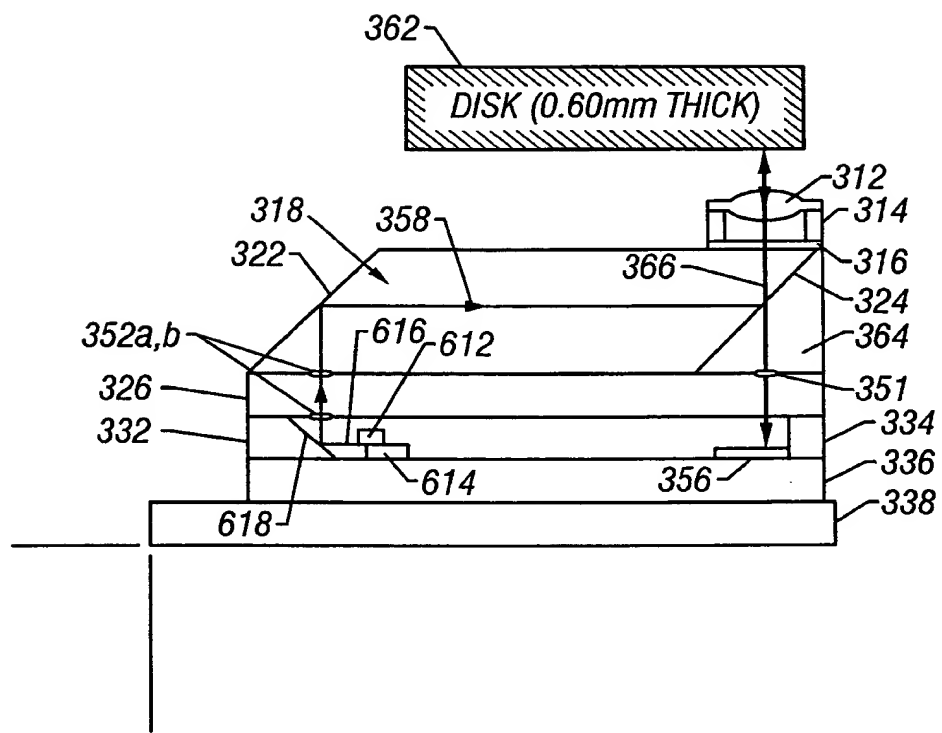


FIG. 5



3/12



**FIG. 6**



4/12

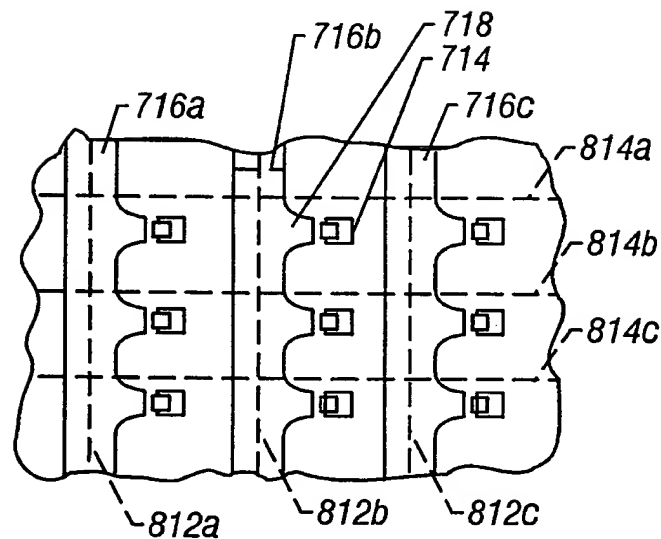


FIG. 8

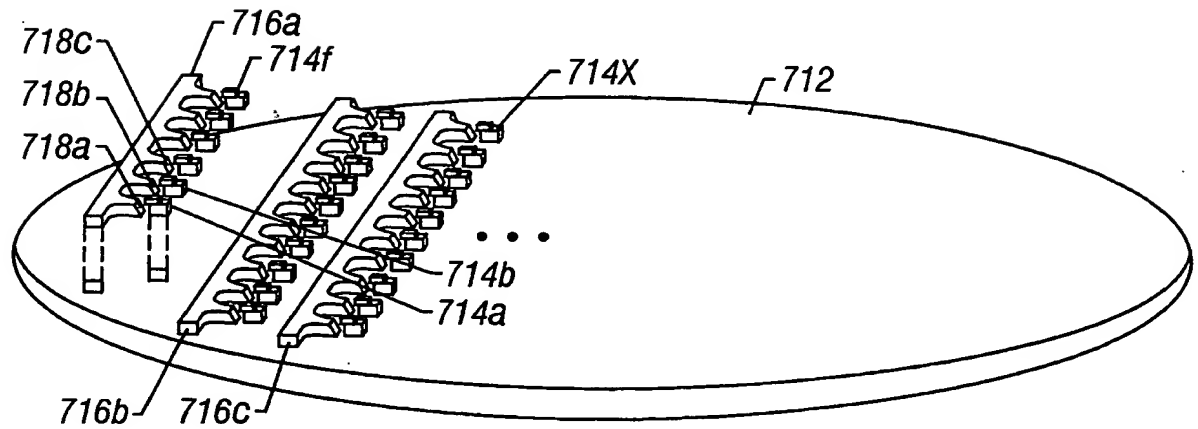


FIG. 7



5/12

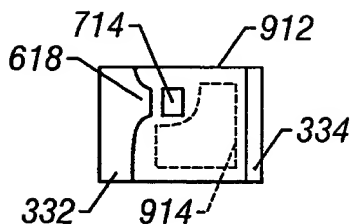


FIG. 9

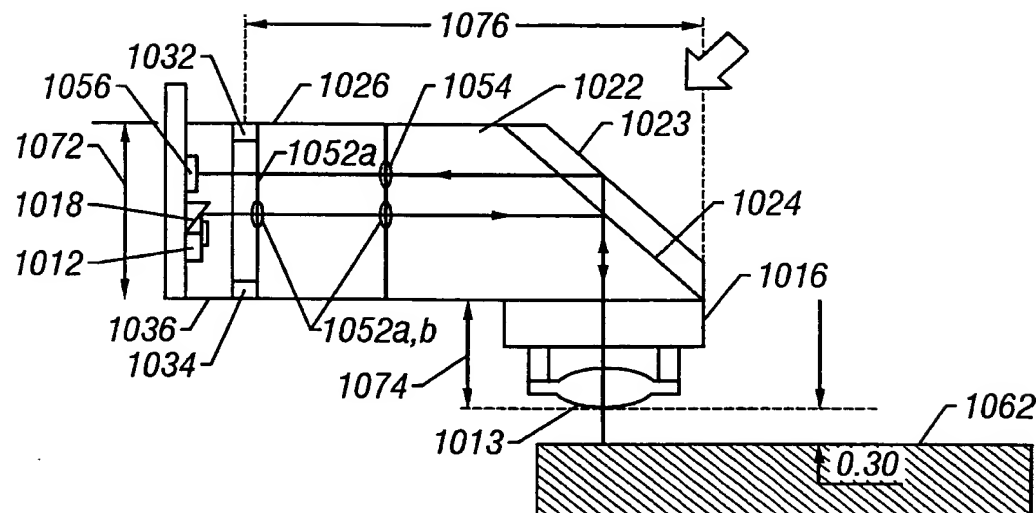


FIG. 10

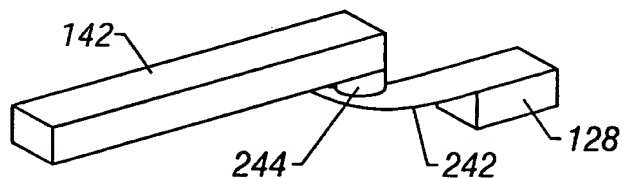


FIG. 11

AUG 01 2005

6/12

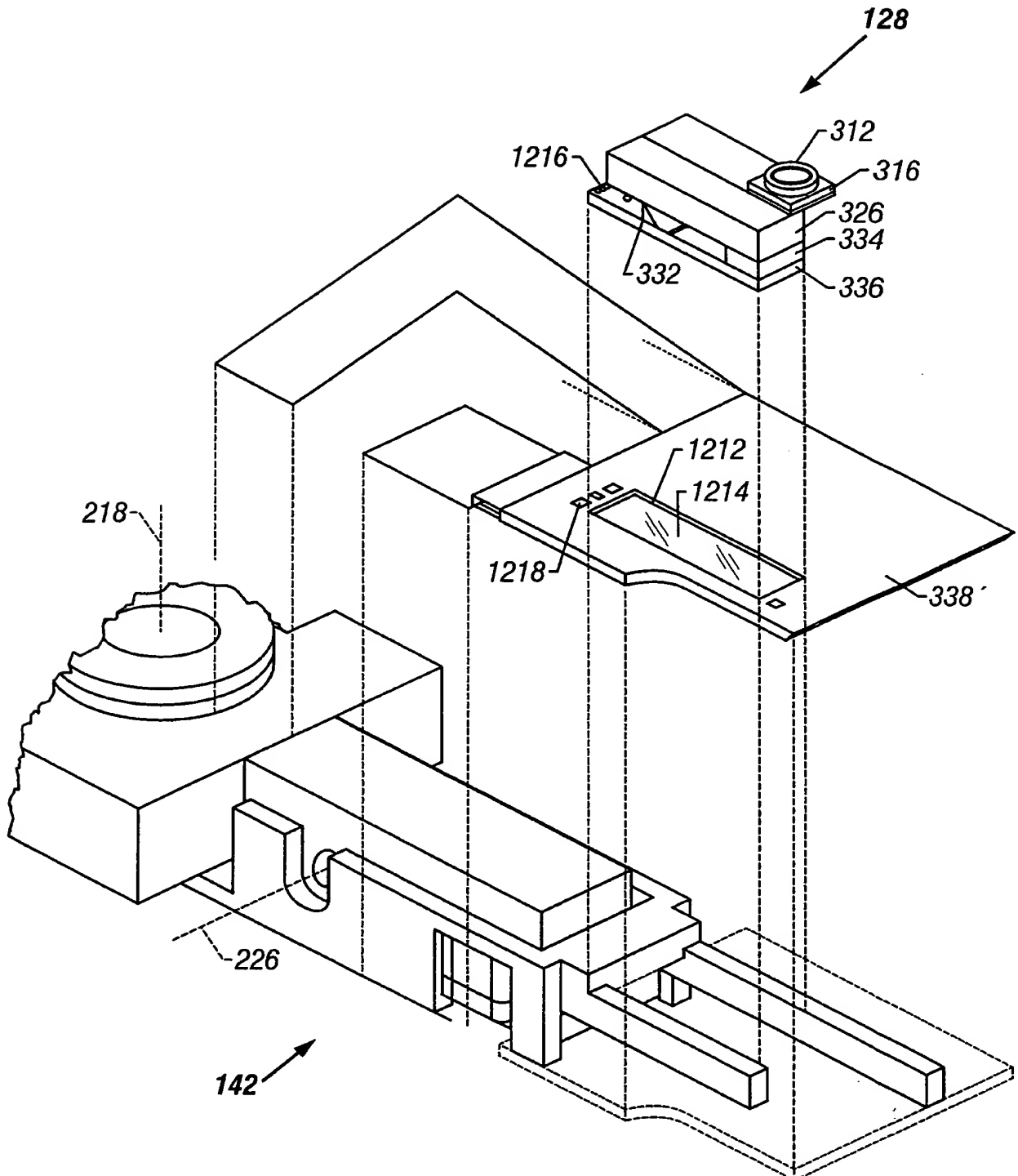


FIG. 12

AUG 01 2005

7/12

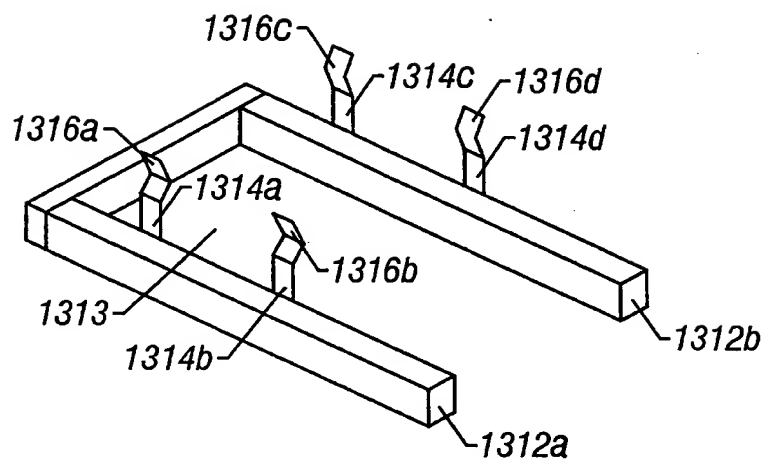


FIG. 13

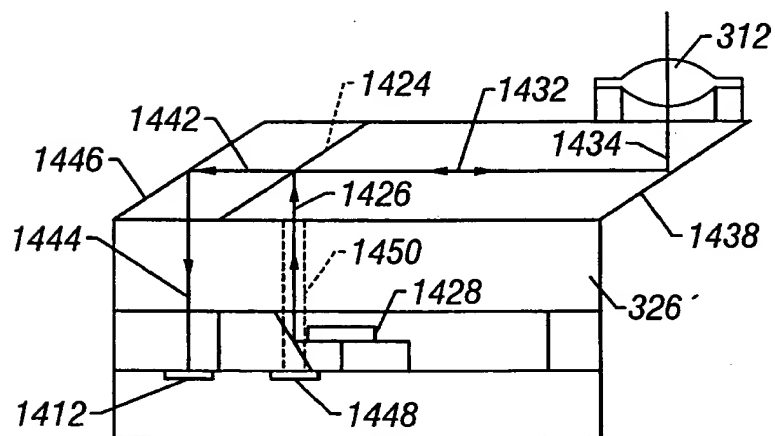


FIG. 14



8/12

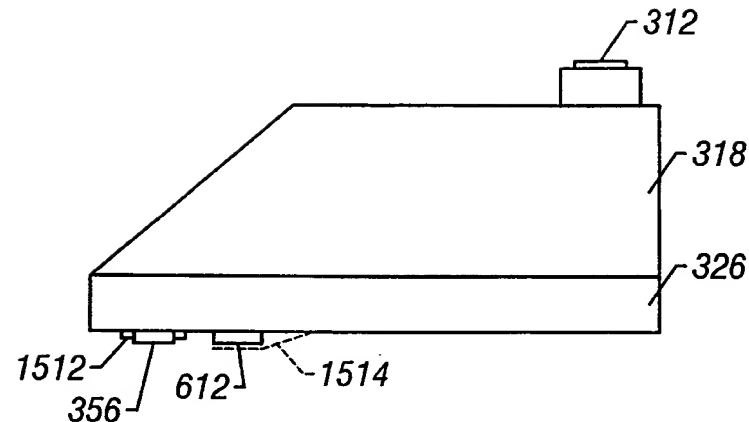


FIG. 15

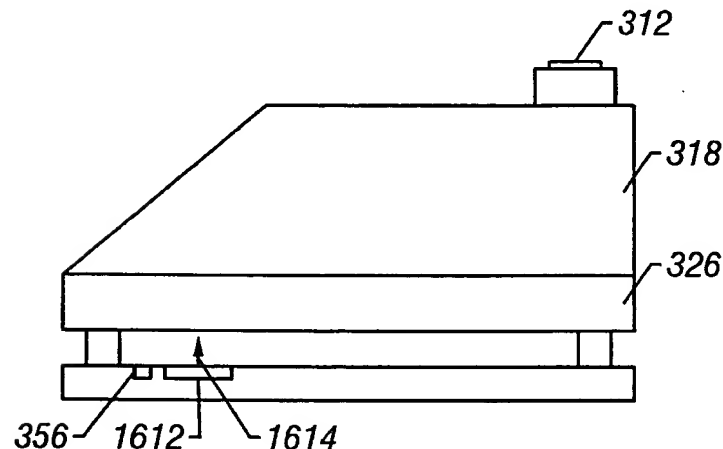


FIG. 16

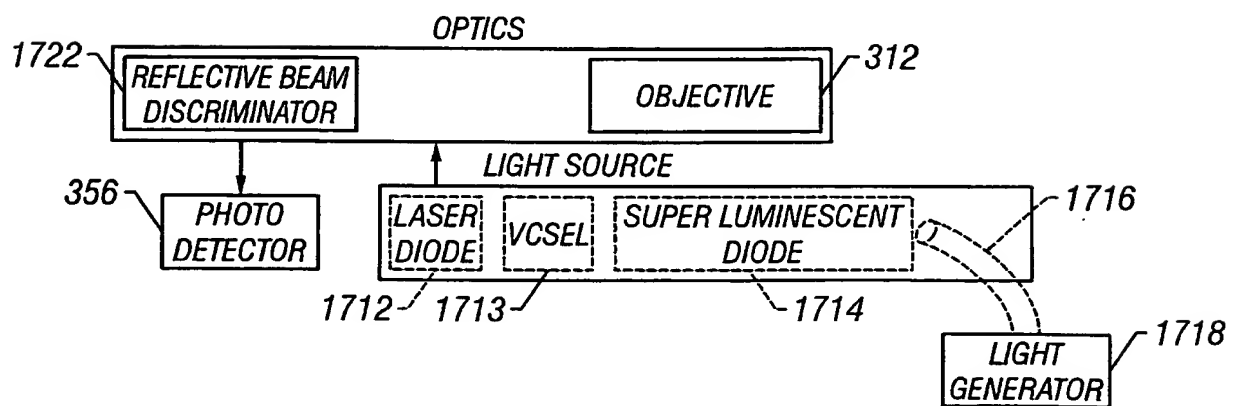


FIG. 17



09/457,104  
Ian Redmond et al.  
M-8535US  
REPLACEMENT SHEET

9/12

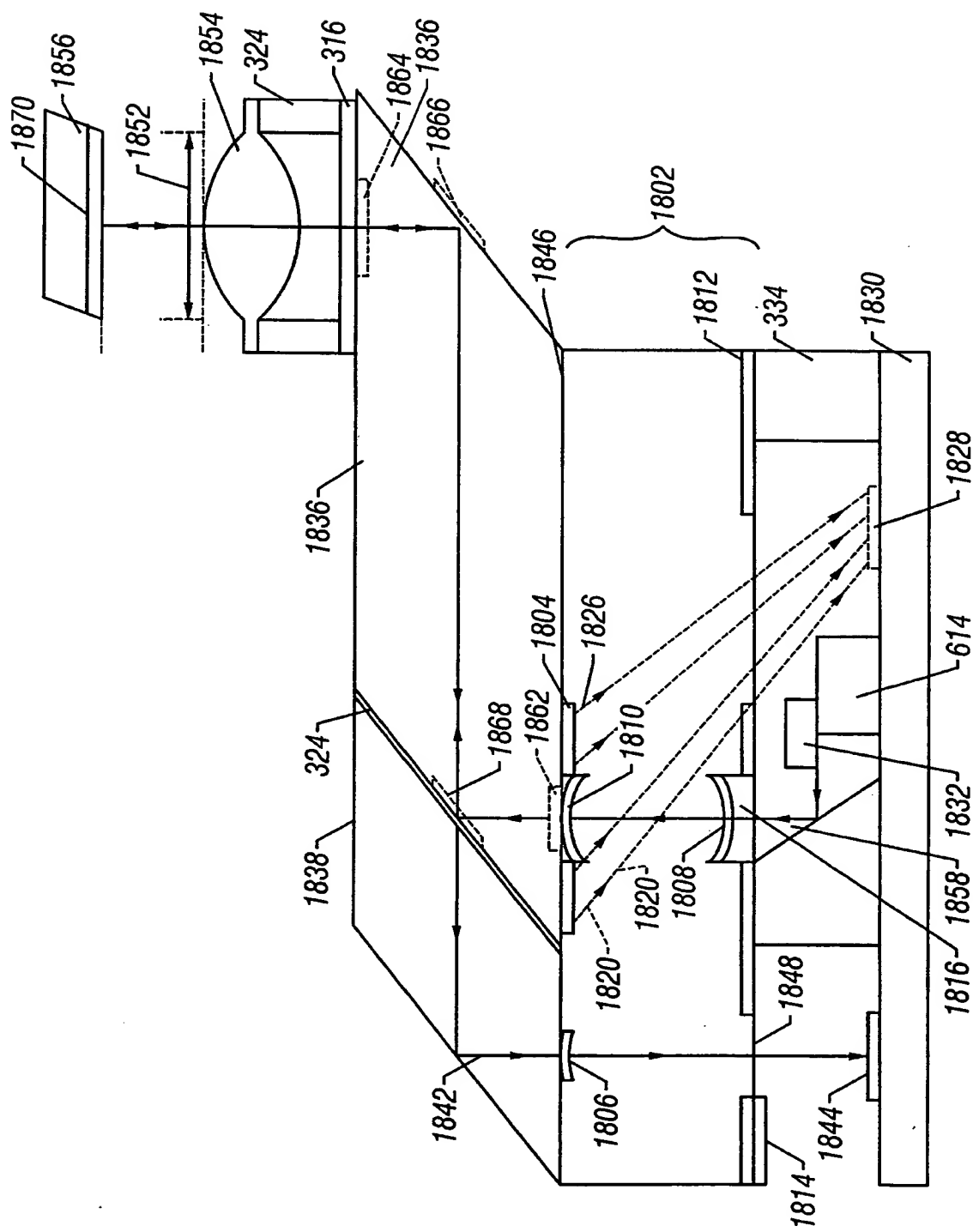


FIG. 18



09/457,104  
Ian Redmond et al.  
M-8535US  
REPLACEMENT SHEET

10/12

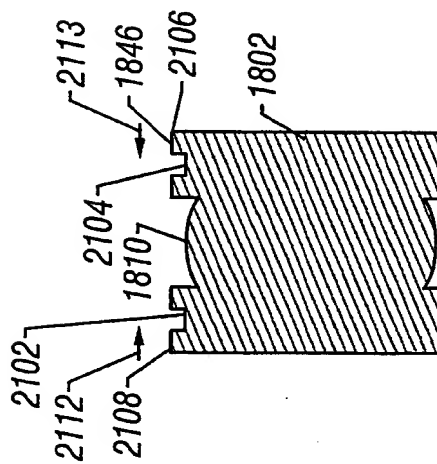


FIG. 21

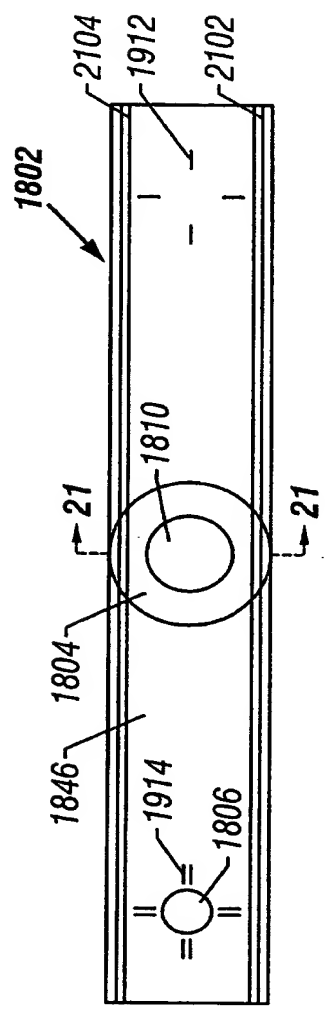


FIG. 19

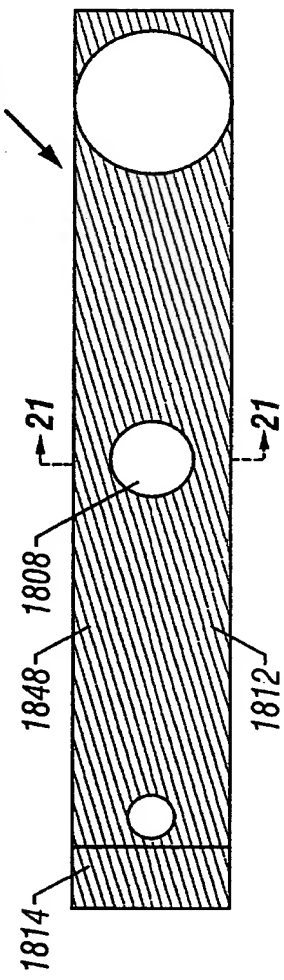
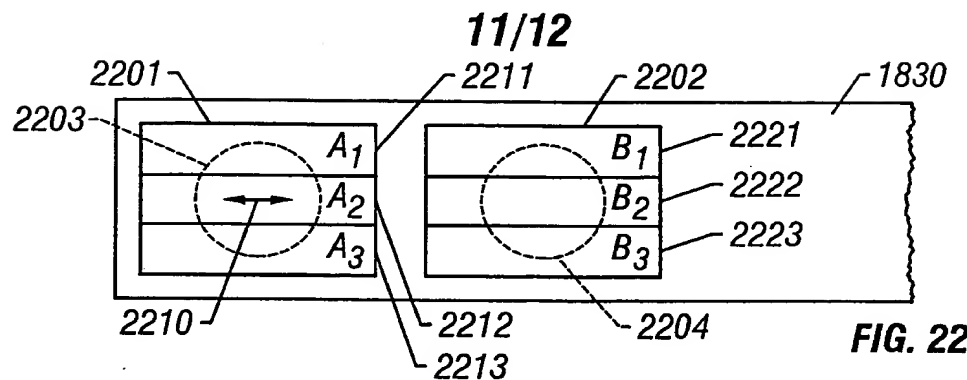
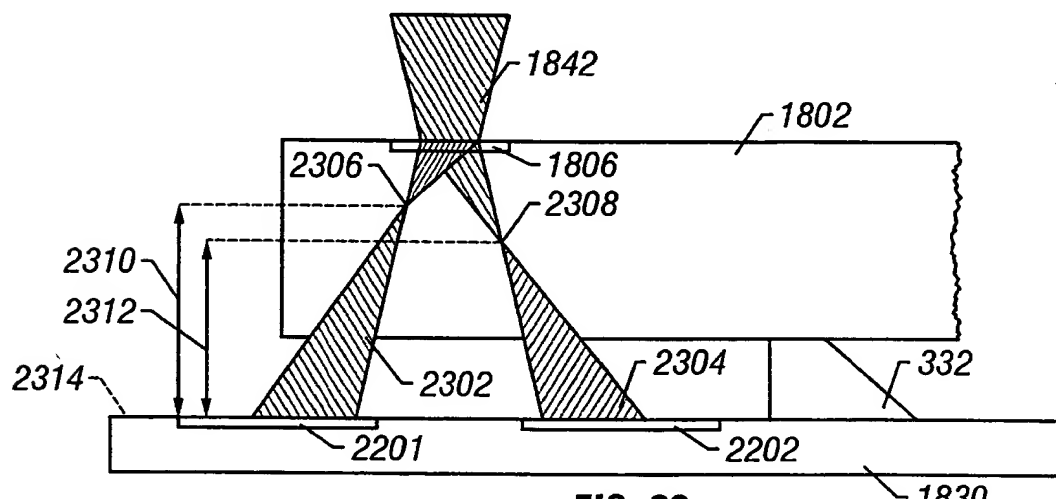


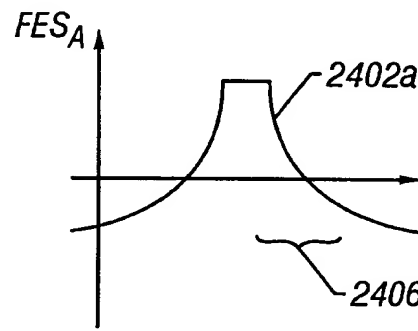
FIG. 20



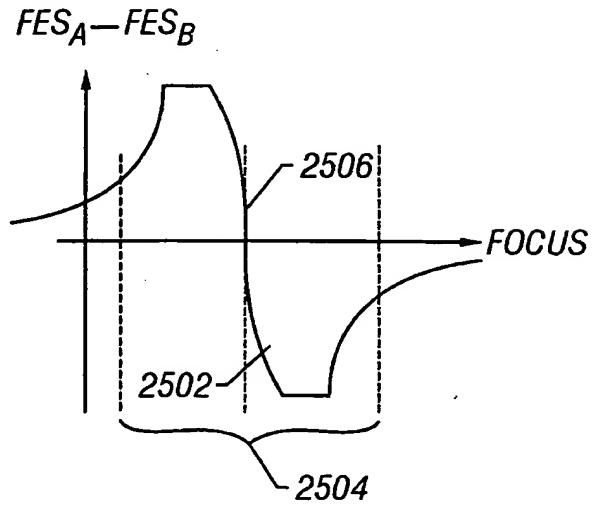
**FIG. 22**



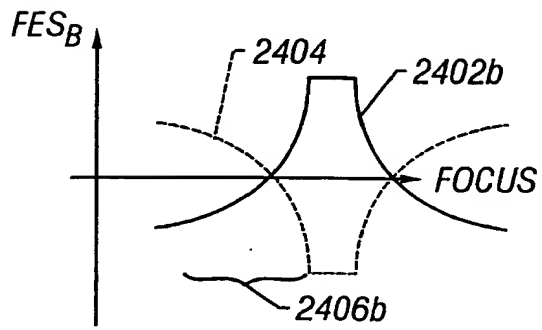
**FIG. 23**



**FIG. 24A**



**FIG. 25**



**FIG. 24B**



12/12

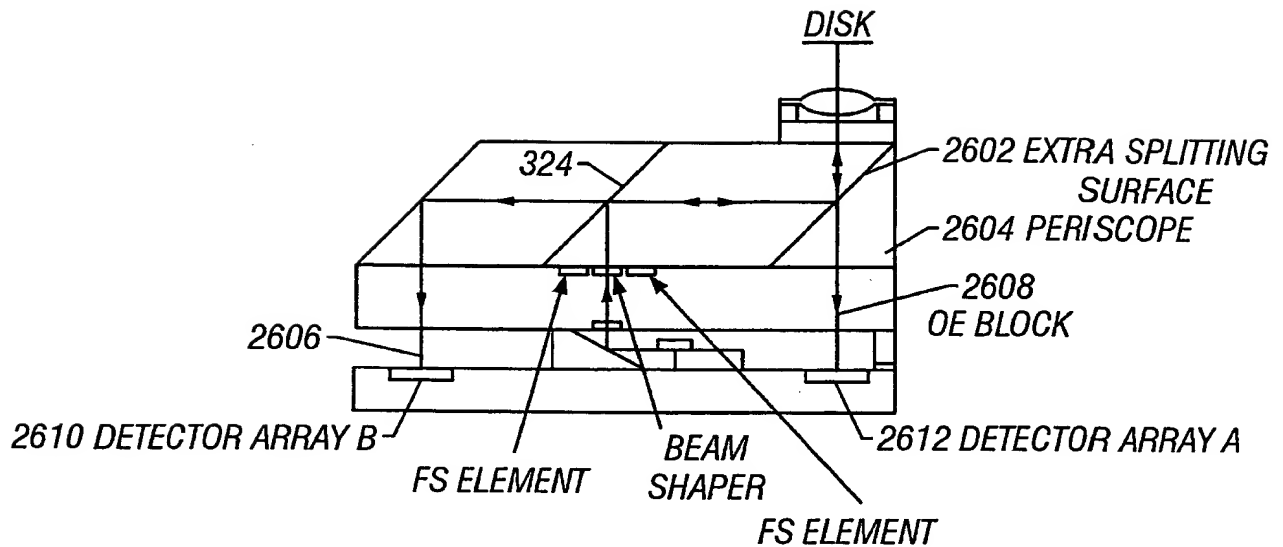


FIG. 26

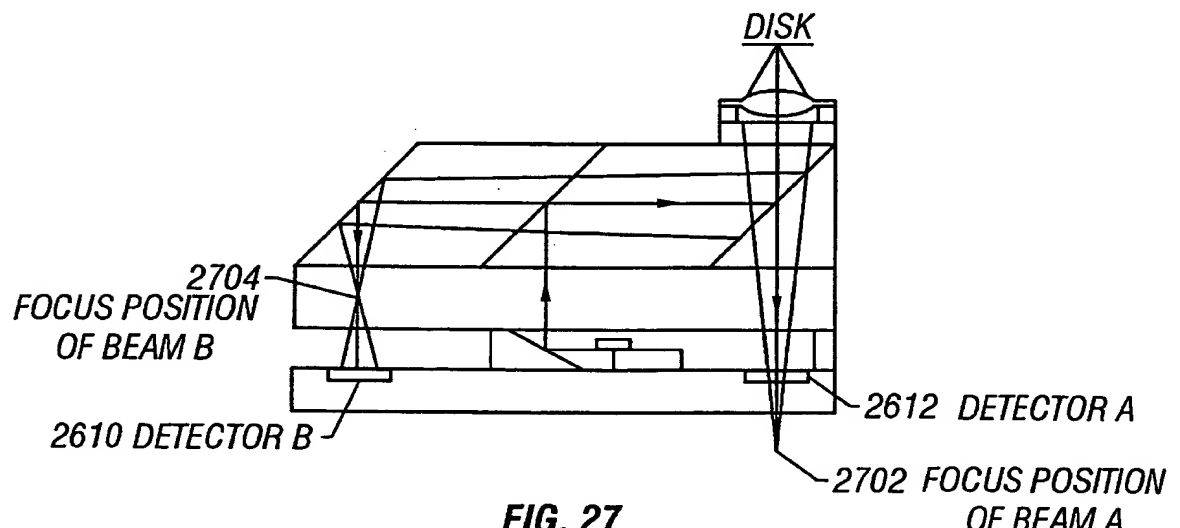


FIG. 27